

始  
→

1 2 3 4 5 6 7 8 9 10 11 12 13 14 15 16 17 18 [mm]

(代  
謄  
寫)

製鐵所研究所

# 研究報告

Vol. VIII No. 9

鋼片の加熱速度に就きて

技術博士 海野三朗

昭和四年三月發行

製鐵所

福岡縣八幡市

14.5-131



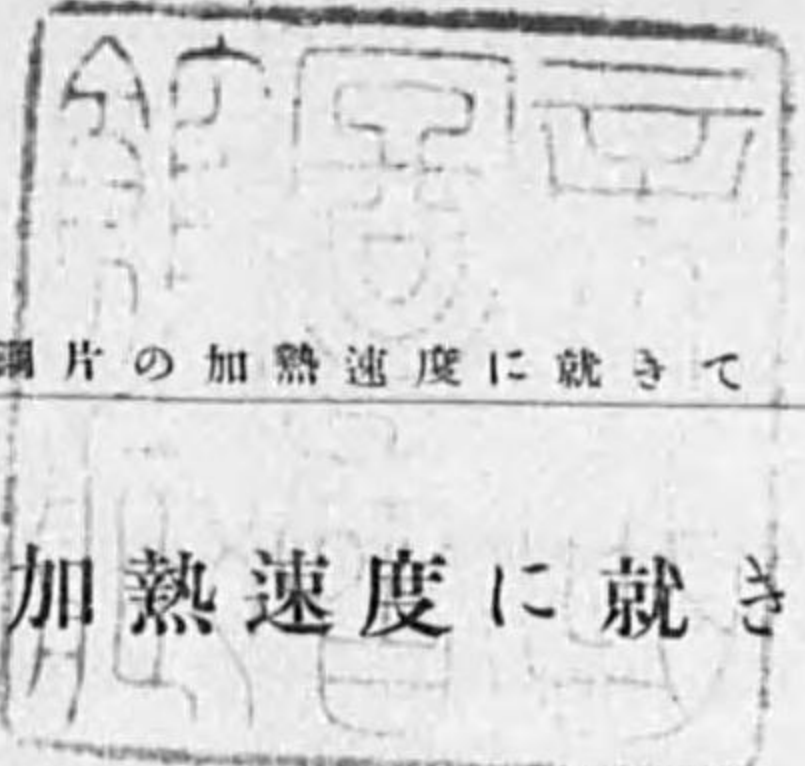
## 鋼片の加熱速度に就きて

### 目 次

研究の要旨並に結論概要.....	( 2 )
第1章 鋼片の厚さと加熱時間並に燃料との関係.....	( 4 )
第1節 热傳導方程式 .....	( 4 )
第2節 热流の直進する場合 .....	( 5 )
第3節 厚さの増減と加熱時間との関係 ( 加熱温度 $1350^{\circ}\text{C}$ の場合) .....	( 7 )
第4節 厚さの増減と加熱時間との関係 ( 加熱温度 $1450^{\circ}\text{C}$ の場合) .....	( 12 )
第5節 鋼片の厚さに據る吸収熱量の差異 .....	( 14 )
第6節 厚さの増減と石炭消費量との関係 .....	( 16 )
第7節 時間より見たる加熱鋼片屯數 .....	( 18 )
第2章 厚さの増減と加熱時間との実験的例證.....	( 21 )
第1節 測定方法 .....	( 21 )
第2節 測定の結果 .....	( 22 )
第3節 鋼片の大きさと其の内外の冷却速度 .....	( 25 )

發行所寄贈本





鋼片の加熱速度に就きて

## 鋼片の加熱速度に就きて

技師理學博士 海野三朗

Object of Investigation and Summary of  
Conclusions.

1. In heating billets from one side, the writer at first theoretically obtained the relation between the thickness of billets and the time needed to heat them to the required temperature, then from a practical data, he obtained some relations among the thickness of billets, i.e. heating time, fuel consumption and tonnage of billets heated in unit time, etc. He also proved experimentally the relation between the size of billets and heating time.

2. The relation between the thickness of billets and the heating time during which the parallel surface at the distance of  $X$  from the side reached respectively  $900^{\circ}\text{C}$ ,  $1000^{\circ}\text{C}$ , and  $1200^{\circ}\text{C}$  was obtained when one side of the ingot is exposed to the heat sources of  $1350^{\circ}\text{C}$  and  $1450^{\circ}\text{C}$ . It was ascertained in this experiment that the increase of heating time is proportional to the square of the thickness (Figs. 2~4).

3. The rise of temperature heated and the heating time do not go in direct proportion: the latter rapidly increases with the former, and the rate of increase is in a marked proportion to the increase of thickness. Therefore, it was understood that the elongation of heating time after the required temperature is reached merely caused a very little rise of temperature above the required height (Figs. 3~5).

4. With the increase of thickness of billets the heat to be absorbed decreases inversely proportional to the square of the thickness in result, and as the required temperature rises the absorption heat steadily decreases (Fig. 6).

5. With the increase of thickness of billets the coal used per ton of steel increases linearly. If the thickness of billets is denoted by  $X$  and the coal used per ton of them  $Y$ , the relation between these two are expressed by the following equation:-

$$X = 72.5 Y \dots \dots \dots \text{(Fig. 7)}$$

6. The relation between the tonnage of billets to be heated per hour and its thickness will be shown as follows,

$$XY = \text{Constant.}$$

Where  $X$  is the thickness of billets and  $Y$  their tonnage heated per hour.

That is, they are in a contrary relation to each other. In case when the surface is heated uniformly to  $1226^{\circ}\text{C}$  the relation becomes

$$XY = 125.$$

Again, when a surface is exposed to the source of  $1350^{\circ}\text{C}$  and the other side reaches  $1000^{\circ}\text{C}$ , this relation becomes

$$XY = 109.$$

The same contrary relation is found between the tonnage of the heated ingot taken out and its thickness (Figs. 8~9).

7. Six kinds of specimen of cube, one side of which is respectively from 2 c.m. to 12.4 c.m. and four kinds of billet from  $1.5 \times 1.5 \times 12$  c.m. to  $3.7 \times 3.7 \times 30$  c.m. were charged in the electric resistance furnace kept at  $900^{\circ}\text{C}$ ; the relation between the time and the temperature during and to which both the surface and the centre of the specimen reached  $900^{\circ}\text{C}$  was obtained, and the results are shown graphically in Figs. 11~13.

8. When the size of the specimen is made larger in the similar figure, the increase of thickness is proportional to the square of time, that is, if the thickness is  $X$ , and the time  $t$ , then

$$X^2 = at \dots \dots \dots \text{(Fig. 14).}$$

9. After taking out the billets of similar shape and of different sizes kept at the same temperature both at the centre and on the surface, their cooling was observed in ten minutes, in which it was found that the smaller the billets the sooner they cooled away both on the surface and at the centre, but the larger ones did not cool so speedily as the smaller ones and the difference of temperature at the centre and on the surface becomes larger as the specimen swells in size. In other words, in the larger billets the interior retains still comparatively high temperature even when the surface speedily cools away (Fig. 15).

### 研究の要旨並に結論概要

1. 鋼片を一方より加熱するに當り、其鋼片の厚さと所要溫度に到達するに要する加熱時間を理論的に求め、實際作業の場合よりして其間に要する燃料としての石炭消費量、同一時間内に於ける加熱鋼片の屯數其他の關係を知り、尚ほ鋼片の大きさと加熱時間との關係を實驗的に證明せるものなり。
2. 鋼片の一面が  $1350^{\circ}\text{C}$  及び  $1450^{\circ}\text{C}$  の熱源に晒されたる時に、夫れより  $x$  の距離にある平行面が  $900^{\circ}, 1000^{\circ}, 1100^{\circ}, 1200^{\circ}\text{C}$  に到達する場合に於ける鋼片の厚さと所要加熱時間との關係を求めたるに、鋼片の厚さの増加に對して所要加熱時間は二乗の割合を以て増加す (第2及び4圖)。
3. 所要加熱溫度の上昇と加熱時間とは正比例せず。所要溫度上昇するに從ひて所要加熱時間の増加は急なり。而して其割合は鋼片の厚さの増加する

に従つて甚だし。故に所要溫度に到達せる後に於ける燃燒時間の延長は、單に銅片の所要溫度以上に極めて僅少の溫度上昇を來すのみなる事を知れり、(第3及び5圖)。

4. 鋼片の厚さ増加すれば、夫れ等の吸收熱量は二乗の割合を以て減少する結果に等し。而して所要溫度高溫なるに従つて反対に吸收熱量は益々減少する事を知れり (第6圖)。

5. 鋼片の厚さ増加すれば、加熱銅片屯當り石炭消費量は直線的に増加す。而して鋼片の厚さを  $x$ 、銅片屯當り石炭消費量を  $y$  とすれば、此兩者の關係は次式を以て表はさる (第7圖)。

$$x = 72.5y$$

6. 所要溫度に加熱せらるゝ銅片の毎時の廻數と其厚さとの關係は、銅片の厚さを  $x$ 、毎時の廻數を  $y$  とすれば、

$$xy = \text{定 数}$$

にして兩者互に反対の關係にあり。而して表面平均  $1226^{\circ}\text{C}$  に加熱せらるゝ場合は、

$$xy = 125$$

又一面  $1350^{\circ}\text{C}$  に晒され他面  $1000^{\circ}\text{C}$  に到達する場合は、

$$xy = 107$$

にして、毎時加熱銅片の抽出廻數と其厚さとに於ても同様反対なる關係にあり (第8~9圖)。

7. 正立方体の試料、一邊の長さ 2 條より 12.4 條迄のもの 6 種、及び正長方体、 $1.5 \times 1.5 \times 12$  條より  $3.7 \times 3.7 \times 30$  條迄の試料 4 種を、 $900^{\circ}\text{C}$  に保たれたる電氣爐内に裝入し、表面及び中心が  $900^{\circ}\text{C}$  に到達する時間と溫度との關係を求めたり (第11~13圖)。

8. 鋼片の大きさ相似形的に増加せる場合に於て、鋼片の厚さ増加すれば所要溫度に到達する時間は、厚さ  $x$ 、時間を  $t$  とすれば、

$$x^2 = at$$

なる二乗の関係にある事を實驗的に證明する事を得たり（第14圖）。

9. 内外同一温度に保たれたる相似形狀の鋼片を、爐外に抽出したる始めの10分間に於ける冷却状況を見るに、小なるものは内外共に温度降下急なるも、大なるものは共に少なく且つ内外の温度の差は、大きさの増加に従つて益々大なり。即ち鋼片の大きさ増加すれば、表面の温度降下すと雖も内部は尚ほ相當高溫にある事を知れり（第15圖）。

## 第1章 鋼片の厚さと加熱時間並に燃料との關係

### 第1節 热傳導方程式

熱が物体に傳播するに當り、時間を  $t$ 、温度を  $v$ 、任意の點を  $x, y, z$  を以て表はせる際に、是等  $t, v, x, y, z$  は凡て連續的函数なる場合は、物体の温度、位置及び時間の關係は次式を以て表はさる可きなり。<sup>(1)</sup>

$$\frac{\partial v}{\partial t} = k \left( -\frac{\partial^2 v}{\partial x^2} - \frac{\partial^2 v}{\partial y^2} - \frac{\partial^2 v}{\partial z^2} \right) \quad \dots \dots \dots \text{(I)}$$

茲に  $K = k \rho c$  = 热傳導率 にして

$k$  = 溫度傳導率

$\rho$  = 比重

$c$  = 比熱

此方程式が満足す可き、 $v, t, x, y, z$  を求むれば、任意の時間に任意の場所に於ける温度を求むる事を得。然るに實際問題にありては、各々其周囲の條件を異にして千差萬別なるが故に、其場合に應じたる周囲の條件を挿入して其解を求む可きなり。斯くて求められたる解は、只一つありて而して唯一に限るものなり。著者は實際的應用として適當なる周囲の條件を用ひ、以

(1) Ingersoll and Nobel, Mathematical Theory of Heat Conduction, (1913), 67;  
Carslaw, Fourier's Series of Integrals, (1906); Poincaré, Théorie analytique de la Propagation de la chaleur, (1891).

て鋼片加熱の場合に應用し、鋼片の厚さの増減と其加熱時間及び温度との關係を求めたるものなり。

### 第2節 热流の直進する場合

鋼片の一方より加熱せらるゝ際を考ふるに、實際作業にありては同様の鋼片が連續加熱せらるゝ場合なるが故に、無限に擴がれる平面を境として熱流の直進する場合を考ふる事を得。從て (I) に於ては、

$$\frac{\partial^2 v}{\partial y^2} = -\frac{\partial^2 v}{\partial z^2} = 0$$

なるを以て、

$$\frac{\partial v}{\partial t} = k \Delta^2 v = k \frac{\partial^2 v}{\partial x^2} \dots \dots \dots \text{(II)}$$

となる。即ち此式を満足す可き  $v$  の値を求め、此  $v$  と  $t, x$  との關係を求むれば、任意の時間に於ける温度と位置、又逆に任意の位置が一定温度に到達す可き時間を求むる事を得。

上の方程式を解かんが爲に

$$v = e^{at + \beta x} \quad \text{とし} \quad a = K\beta^2 \quad \text{及び} \quad \beta = \pm i\gamma \quad \text{とおけば}$$

$$v = e^{-K\gamma^2 t} e^{\pm i\gamma x}$$

即ち

$$v = L e^{-K\gamma^2 t} \cos \gamma x$$

及び

$$v = N e^{-K\gamma^2 t} \sin \gamma x$$

を得。從つて此和は又上式を満足す可きが故に、

$$v = \int_0^\infty e^{-K\gamma^2 t} (A \cos \gamma x + B \sin \gamma x) d\gamma \dots \dots \dots \text{(III)}$$

茲に於て  $t=0$  とおけば、

$$f(x) = \frac{1}{\pi} \int_0^\infty d\gamma \int_{-\infty}^{+\infty} f(\lambda) \cos \gamma (\lambda - x) d\lambda$$

$$= \int_0^\infty (A \cos \gamma x + B \sin \gamma x) b\gamma$$

從つて之より  $A, B$  定數を決定する事を得て、

$$A = \frac{1}{\pi} \int_{-\infty}^\infty f(\lambda) \cos \gamma \lambda d\lambda$$

$$B = \frac{1}{\pi} \int_{-\infty}^{\infty} f(\lambda) \sin \gamma \lambda d\lambda$$

従つて

$$v = \frac{1}{\pi} \int_0^{\infty} e^{-Kt^2} d\gamma \int_{-\infty}^{\infty} f(\lambda) \cos \gamma (\lambda - x) d\lambda \dots \dots \dots \text{(IV)}$$

(IV) は上式 (II) 及び (III) を満足す可きものなれども、此式を實際使用に便ならしむる爲めに少しく變化すれば、

$$v = \frac{1}{\pi} \int_{-\infty}^{\infty} f(\lambda) d\lambda \int_0^{\infty} e^{-Kt^2} \cos \gamma (\lambda - x) d\gamma$$

とおくを得。然るに

$$\int_0^{\infty} e^{-Kt^2} \cos \gamma (\lambda - x) d\gamma = \frac{1}{2} \sqrt{\frac{\pi}{Kt}} e^{-\frac{(\lambda-x)^2}{4Kt}}$$

となるが故に、(IV) は

$$v = \frac{1}{2\sqrt{\pi Kt}} \int_{-\infty}^{\infty} f(\lambda) e^{-\frac{(\lambda-x)^2}{4Kt}} d\lambda \dots \dots \dots \text{(V)}$$

となる。然るに無限に擴がれる平面は常に  $0^{\circ}\text{C}$  に保たれ、初めの温度の分布は任意なりと考ふるが故に周囲の條件としては、

$$x=0, \quad v=0, \quad t=0, \quad v=f(x)$$

又  $\lambda$  は  $x$  よりの距離にして其絶対値を表はすものとすれば、

$$x=\lambda, \quad \text{に於ては} \quad f(\lambda)$$

$$x=-\lambda, \quad \text{に於ては} \quad -f(\lambda)$$

と考へたる結果に等しきが故に、(V) は

$$\begin{aligned} v &= \frac{1}{2\sqrt{\pi Kt}} \left\{ \int_0^{\infty} f(\lambda) e^{-\frac{(\lambda-x)^2}{4Kt}} d\lambda + \int_{-\infty}^0 f(\lambda) e^{-\frac{(\lambda-x)^2}{4Kt}} d\lambda \right\} \\ &= \frac{1}{2\sqrt{\pi Kt}} \left\{ \int_0^{\infty} f(\lambda) e^{-\frac{(\lambda-x)^2}{4Kt}} d\lambda - \int_0^{\infty} f(\lambda) e^{-\frac{(\lambda+x)^2}{4Kt}} d\lambda \right\} \\ &= -\frac{1}{2\sqrt{\pi Kt}} \int_0^{\infty} f(\lambda) d\lambda \left\{ e^{-\frac{(\lambda-x)^2}{4Kt}} - e^{-\frac{(\lambda+x)^2}{4Kt}} \right\} \dots \dots \dots \text{(VI)} \end{aligned}$$

$$\text{今 } \beta = \frac{\lambda-x}{2\sqrt{Kt}}, \quad \beta' = \frac{\lambda+x}{2\sqrt{Kt}} \text{ とおけば } d\beta = \frac{1}{2\sqrt{Kt}} d\lambda, \quad d\beta' = \frac{1}{2\sqrt{Kt}} d\lambda,$$

従つて、

$$v = \frac{v_0}{\sqrt{\pi}} \left\{ \int_{-\frac{x}{\sqrt{Kt}}}^{\infty} e^{-\beta^2} d\beta - \int_{\frac{x}{\sqrt{Kt}}}^{\infty} e^{-\beta'^2} d\beta' \right\}$$

$$= \frac{2v_0}{\sqrt{\pi}} \int_0^{\frac{x}{\sqrt{Kt}}} e^{-\beta^2} d\beta \dots \dots \dots \text{(VII)}$$

此方程式は、始めに物体の温度が  $v_0$  にして表面が  $0^{\circ}\text{C}$  なる場合なり。従つて温度の基準を換ゆる事によりて此 (VII) を直ちに用ゆる事を得可し。

### 第3節 厚さの増減と加熱時間との関係 (加熱温度 $1350^{\circ}\text{C}$ の場合)<sup>(1)</sup>

厚さ  $4, 6, 8, 10, 15, 20, 30$  毫なる銅片の一面が常に  $1350^{\circ}\text{C}$  の高温に保たれたる際に、之より  $x$  の距離にある平行なる一面が  $900^{\circ}\text{C}$  に到達す可き時間を求めんとする。銅片の初めの温度は常温  $20^{\circ}\text{C}$  とすれば、

$$v = \frac{2v_0}{\sqrt{\pi}} \int_0^{\frac{x}{\sqrt{Kt}}} e^{-\beta^2} d\beta$$

の関係を利用する事を得。即ち物体の温度が  $v_0$  にして表面が  $0^{\circ}\text{C}$  なる際に、其物体の表面より  $x$  毫なる距離に於ける温度  $v$  と、其温度に到達するに要する時間  $t$  との関係を與ふるものなり。今基準を  $1350^{\circ}\text{C}$  だけ移轉して之を  $0^{\circ}\text{C}$  と考ふるに、

$$v = 900^{\circ} - 1350^{\circ} = -450^{\circ}$$

$$v_0 = 20^{\circ} - 1350^{\circ} = -1330^{\circ}$$

従つて

(1) 茲に火焔の温度として  $1350^{\circ}, 1450^{\circ}\text{C}$  を引證せらるは、多くの再熱爐にありては燃焼の最も盛なる部分は  $1400^{\circ}\text{C}$  附近なればなり。第一大形の石炭使用の再熱爐の最高部並に第三小形工場再熱爐の瓦斯使用の場合、其他多くの再熱爐にありては皆程度の温度なる事實則より知られければなり、元來爐内温度の上昇程度は瓦斯の種類と其量、送入空氣量及び夫等の送入前の温度によりて決定せらるるものにして、瓦斯量對空氣量の一例は既に著者が報告せる所なるが其理論的計算は又田所、河内兩氏の研究あるが故に省略する事とせり。

(a) 海野 製鐵所研究所受付研究 26 (1928), 63 (1922), 84 (1927), 49 (1928), 71 (1928),

(b) 製鐵所研究所研究報告 8 (1928),

(c) 同上受付研究 90 (1927), 製鐵研究 90 (1926), 1.

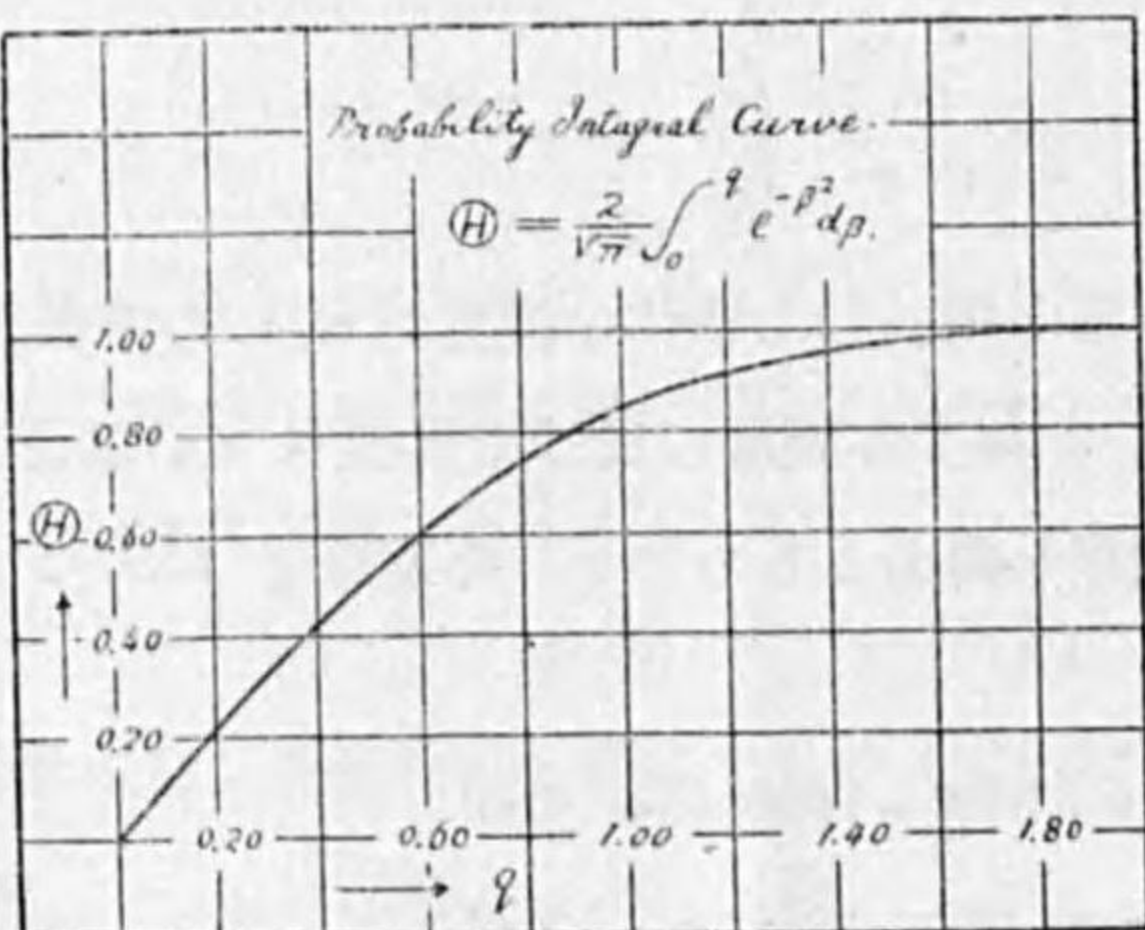
$$\frac{45}{133} = \frac{2}{\sqrt{\pi}} \int_0^{\frac{x}{2\sqrt{Kt}}} e^{-\beta^2} d\beta$$

即ち

$$0.3383 = \frac{2}{\sqrt{\pi}} \int_0^{\frac{x}{2\sqrt{Kt}}} e^{-\beta^2} d\beta$$

ならしむ可き  $\frac{x}{2\sqrt{Kt}}$  の値を第1圖 Probability Integral Curve<sup>(1)</sup> より求むるに、

第 1 圖



$$\frac{x}{2\sqrt{Kt}} = 0.3095$$

従つて

$$t = \frac{x^2}{4 \times 0.14 \times (0.3095)^2} = \frac{x^2}{0.0520}$$

由て、 $x$  の代りに 4, 6, 8, 10, 15, 20, 30 を代入して  $t$  との関係を算出すれば次の如し。

$$x=4; t=308 = 5 \text{ 分 } 8 \text{ 秒}$$

$$x=6; t=692 = 11 \text{ 分 } 32 \text{ 秒}$$

$$x=8; t=1230 = 20 \text{ 分 } 30 \text{ 秒}$$

(1) Wellisch, Theorie und Praxis der Ausgleichsrechnung, 257.

## 銅片の加熱速度に就きて

$$x=10; t=1920 = 32 \text{ 分 } 4 \text{ 秒}$$

$$x=15; t=4325 = 72 \text{ 分 } 5 \text{ 秒}$$

$$x=20; t=7690 = 128 \text{ 分 } 10 \text{ 秒}$$

$$x=30; t=17320 = 288 \text{ 分 } 40 \text{ 秒}$$

次に銅片の一面が常に  $1350^{\circ}\text{C}$  に保たれ、他の反対の一面が  $1000^{\circ}\text{C}$  に到達する場合の関係を求める。此場合に於ては

$$v=1000^{\circ} - 1350^{\circ} = -350^{\circ}$$

$$v_0 = 20^{\circ} - 1350^{\circ} = -1330^{\circ}$$

$$\therefore \frac{35}{133} = \frac{2}{\sqrt{\pi}} \int_0^{\frac{x}{2\sqrt{Kt}}} e^{-\beta^2} d\beta = 0.2631$$

従つて第1圖より

$$\frac{x}{2\sqrt{Kt}} = 0.2376$$

$$\therefore t = \frac{x^2}{4 \times 0.14 \times (0.2376)^2} = \frac{x^2}{0.0315}$$

$$x=4; t=508 = 8 \text{ 分 } 28 \text{ 秒}$$

$$x=6; t=1143 = 19 \text{ 分 } 3 \text{ 秒}$$

$$x=8; t=2032 = 33 \text{ 分 } 52 \text{ 秒}$$

$$x=10; t=3175 = 52 \text{ 分 } 55 \text{ 秒}$$

$$x=15; t=7140 = 119 \text{ 分}$$

$$x=20; t=12710 = 211 \text{ 分 } 50 \text{ 秒}$$

$$x=30; t=28590 = 476 \text{ 分 } 30 \text{ 秒}$$

次に一面が絶えず晒さる、温度は全様  $1350^{\circ}\text{C}$  にして、夫れより  $x$  なる距離に於ける平行面が  $1100^{\circ}\text{C}$  に到達する時間を求むるに、周囲の條件として

$$v = 1100^{\circ} - 1350^{\circ} = -250^{\circ}$$

$$v_0 = 20^{\circ} - 1350^{\circ} = -1330^{\circ}$$

従つて

$$\frac{25}{133} = \frac{2}{\sqrt{\pi}} \int_0^{\frac{x}{Kt}} e^{-\beta^2} d\beta = 0.188$$

故に第1圖よりして

$$\frac{x}{2\sqrt{Kt}} = 0.1682$$

即ち

$$t = \frac{x^2}{0.0158}$$

を得。従つて  $x$  が 4, 6, 8, 10, 15, 20, 30 梗なる値に相當する  $t$  を求むるに、夫々

$x = 4$ ;	$t = 1014$	= 18分34秒
$x = 6$ ;	$t = 2280$	= 38分
$x = 8$ ;	$t = 4050$	= 67分30秒
$x = 10$ ;	$t = 6330$	= 105分30秒
$x = 15$ ;	$t = 14240$	= 237分20秒
$x = 20$ ;	$t = 25320$	= 422分
$x = 30$ ;	$t = 57000$	= 950分

を得。

同様にして他的一面が  $1200^{\circ}\text{C}$  に到達す可き時間を各銅片の厚さに付きて求むるに、此場合にありては、

$$v = 1200^{\circ} - 1350^{\circ} = - 150^{\circ}$$

$$v_0 = 20^{\circ} - 1350^{\circ} = - 1330^{\circ}$$

となるを以て、

$$\frac{15}{133} = \frac{2}{\sqrt{\pi}} \int_0^{\frac{x}{Kt}} e^{-\beta^2} d\beta = 0.113$$

従つて第1圖よりして

$$\frac{x}{2\sqrt{Kt}} = 0.101$$

即ち

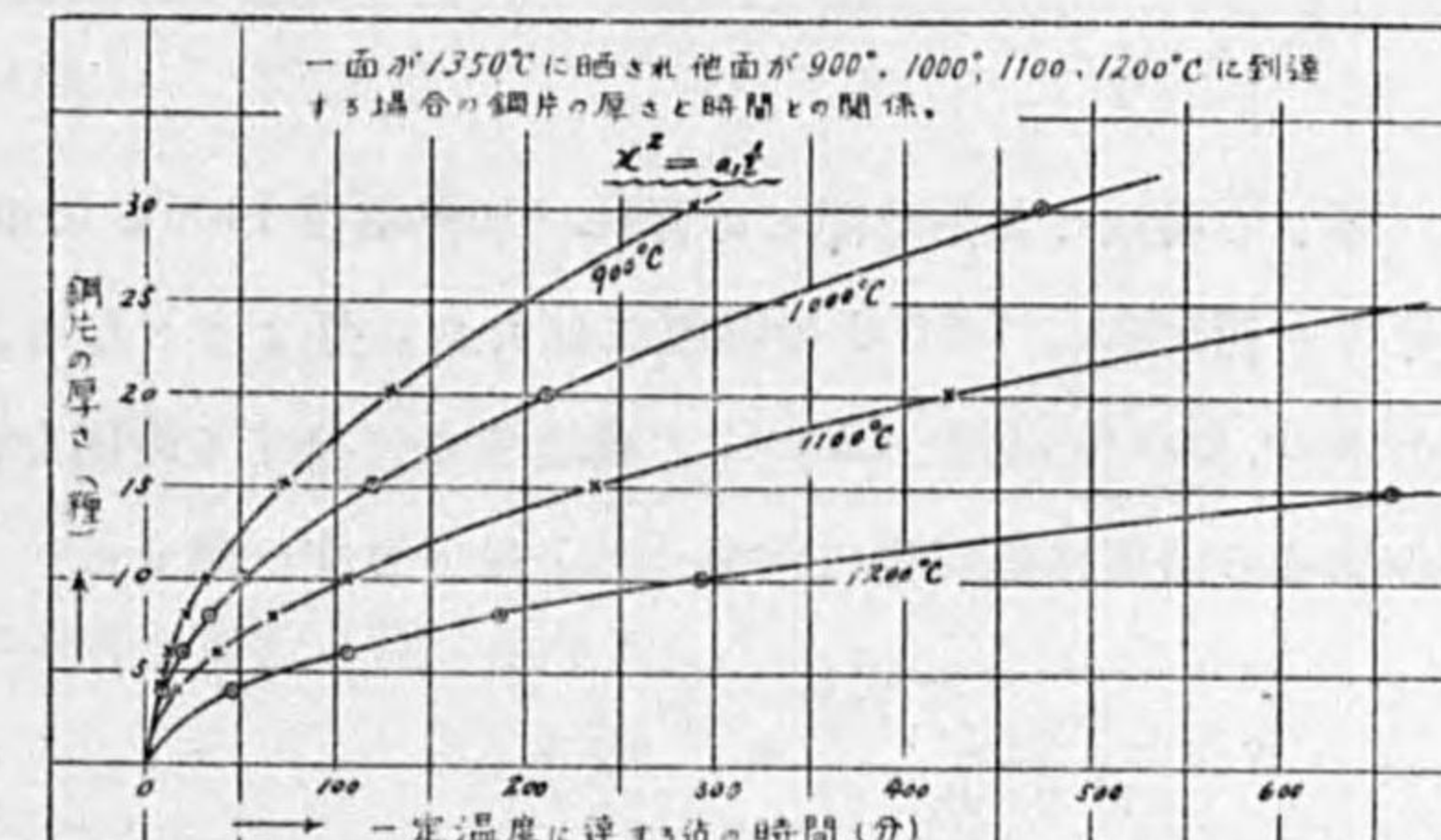
$$t = \frac{x^2}{0.14 \times (0.202)^2} = \frac{x^2}{0.0057}$$

由て  $x$  と  $t$  の関係は次の如くなる。

$x = 4$ ;	$t = 2807$	= 46分47秒
$x = 6$ ;	$t = 6316$	= 105分16秒
$x = 8$ ;	$t = 11228$	= 187分8秒
$x = 10$ ;	$t = 17544$	= 292分24秒
$x = 15$ ;	$t = 39474$	= 658分

是等の関係を第2圖に示せり。

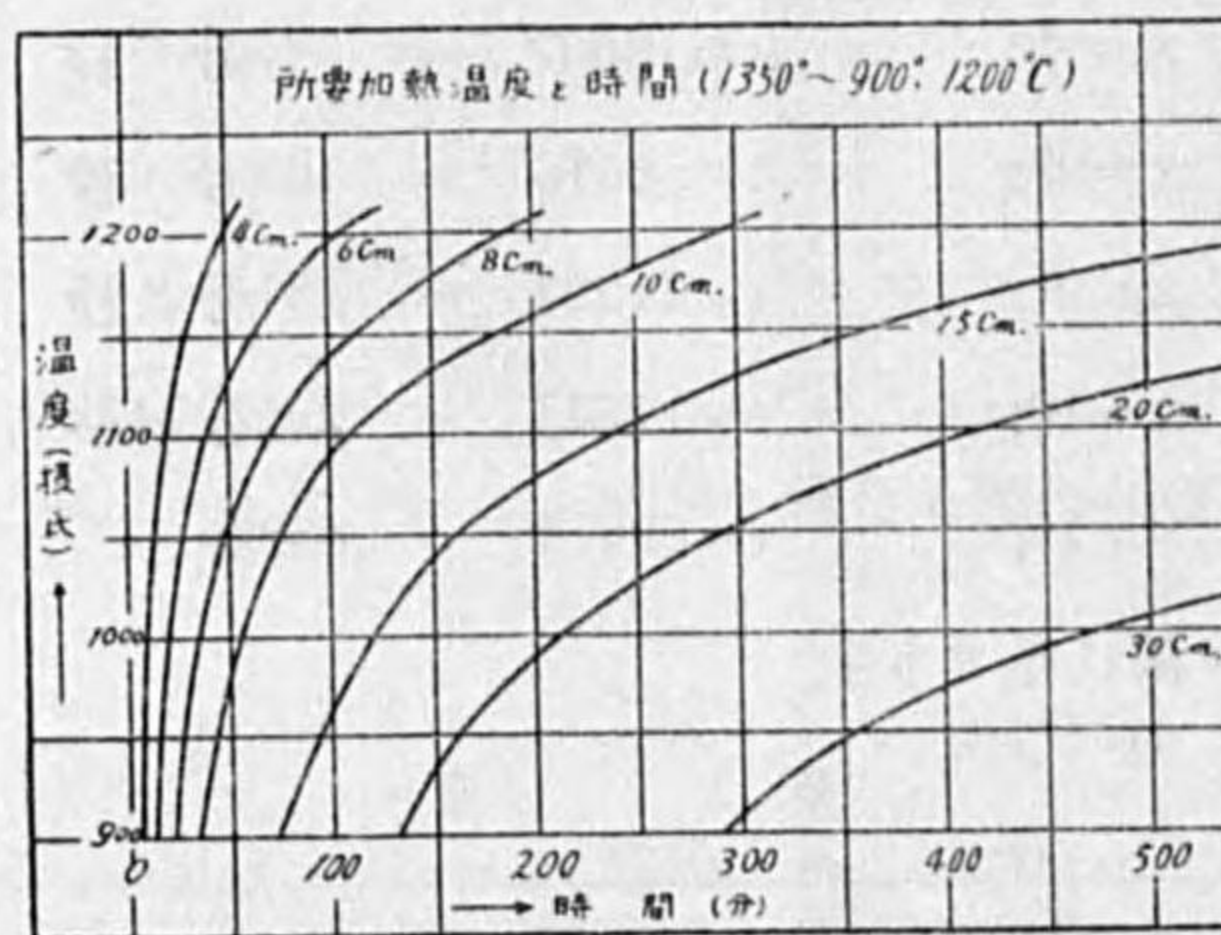
第 2 圖



是に依れば、銅片の厚さの増加直線的なるに對し所要加熱時間は二乗の割合を以て進行し、熱源に反対なる面の所要温度上昇するに從ひて著しく長時間を要す。換言すれば一定温度例へば  $1000^{\circ}\text{C}$  に到達してより尚ほ  $100^{\circ}$  上昇せしむるが爲めに要する時間は、10梗の銅片につきて考ふれば 52.5分を要するに、 $1100^{\circ}\text{C}$  より以上に  $100^{\circ}$  上昇せしむるが爲めには更に 187 分間爐内に保たざる可からざる事となる。此關係を一層明瞭ならしめんが爲めに、一面が  $1350^{\circ}\text{C}$  の熱源に晒され他の反対側の面が達する所要温度と、此所要温度に到達するに要する時間との關係を第3圖に示せり。是によれば、加熱時間

を延長するも所要温度は夫れに正比例して上昇す可きものに非ず、所要温度の上昇割合は、加熱時間の増加するに従ひて益々減少する事を知る可し。

第3圖



## 第4節 厚さの増減と加熱時間との関係（加熱温度1450°Cの場合）

次に各鋼片の一面が常に1450°Cの高温に保たれ、是よりxなる距離に於ける平行面が900°, 1000°, 1100°, 1200°Cに到達するに要する時間を求めんとする。冷鋼片の初めの温度は前同様に常温20°Cなりとす。然らば

$$v = \frac{2v_0}{\sqrt{\pi}} \int_0^{\frac{x}{2\sqrt{Kt}}} e^{-\beta^2} d\beta$$

なる関係に於て

$$900^\circ\text{C} \text{ の場合は } \begin{cases} v = 900^\circ - 1450^\circ = -550^\circ \\ v_0 = 20^\circ - 1450^\circ = -1430^\circ \end{cases}$$

$$1000^\circ\text{C} \text{ の場合は } \begin{cases} v = 1000^\circ - 1450^\circ = -450^\circ \\ v_0 = 20^\circ - 1450^\circ = -1430^\circ \end{cases}$$

$$1100^\circ\text{C} \text{ の場合は } \begin{cases} v = 1100^\circ - 1450^\circ = -350^\circ \\ v_0 = 20^\circ - 1450^\circ = -1430^\circ \end{cases}$$

$$1200^\circ\text{C} \text{ の場合は } \begin{cases} v = 1200^\circ - 1450^\circ = -250^\circ \\ v_0 = 20^\circ - 1450^\circ = -1430^\circ \end{cases}$$

従つて第1圖よりして夫々

## 鋼片の加熱速度に就きて

$$900^\circ \dots \frac{x}{2\sqrt{Kt}} = 0.3553 \quad \therefore t = \frac{x^2}{0.0711}$$

$$1000^\circ \dots \frac{x}{2\sqrt{Kt}} = 0.2866 \quad \therefore t = \frac{x^2}{0.0459}$$

$$1100^\circ \dots \frac{x}{2\sqrt{Kt}} = 0.2200 \quad \therefore t = \frac{x^2}{0.0270}$$

$$1200^\circ \dots \frac{x}{2\sqrt{Kt}} = 0.1560 \quad \therefore t = \frac{x^2}{0.0136}$$

を得。此xの値に鋼片の厚さ4, 6, 8, 10, 15, 20, 30糧を代入して時間tを求むるに、第1表の如し。

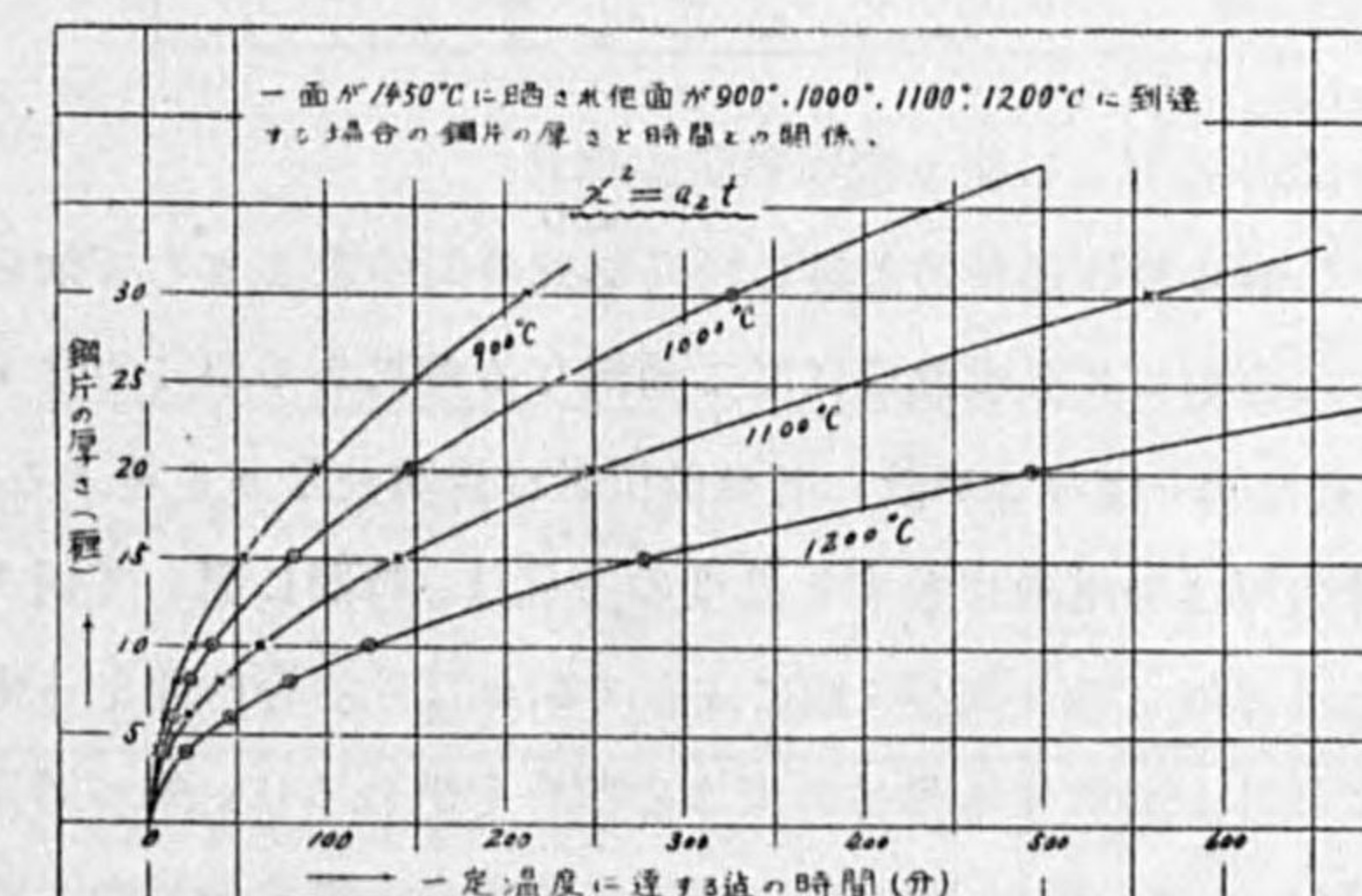
第1表

## 鋼片の厚さと所要温度に到達する時間との関係

鋼片の厚さ(糧)	900°C (t)	1000°C (t)	1100°C (t)	1200°C (t)
	分 秒	分 秒	分 秒	分 秒
4	3 45	5 48	9 53	19 45
6	8 27	13 3	22 13	44 8
8	15 0	23 14	39 30	78 20
10	23 27	36 17	61 42	122 40
15	52 40	81 40	139 0	275 40
20	93 44	145 10	247 0	490 40
30	210 50	326 30	555 40	1104 0

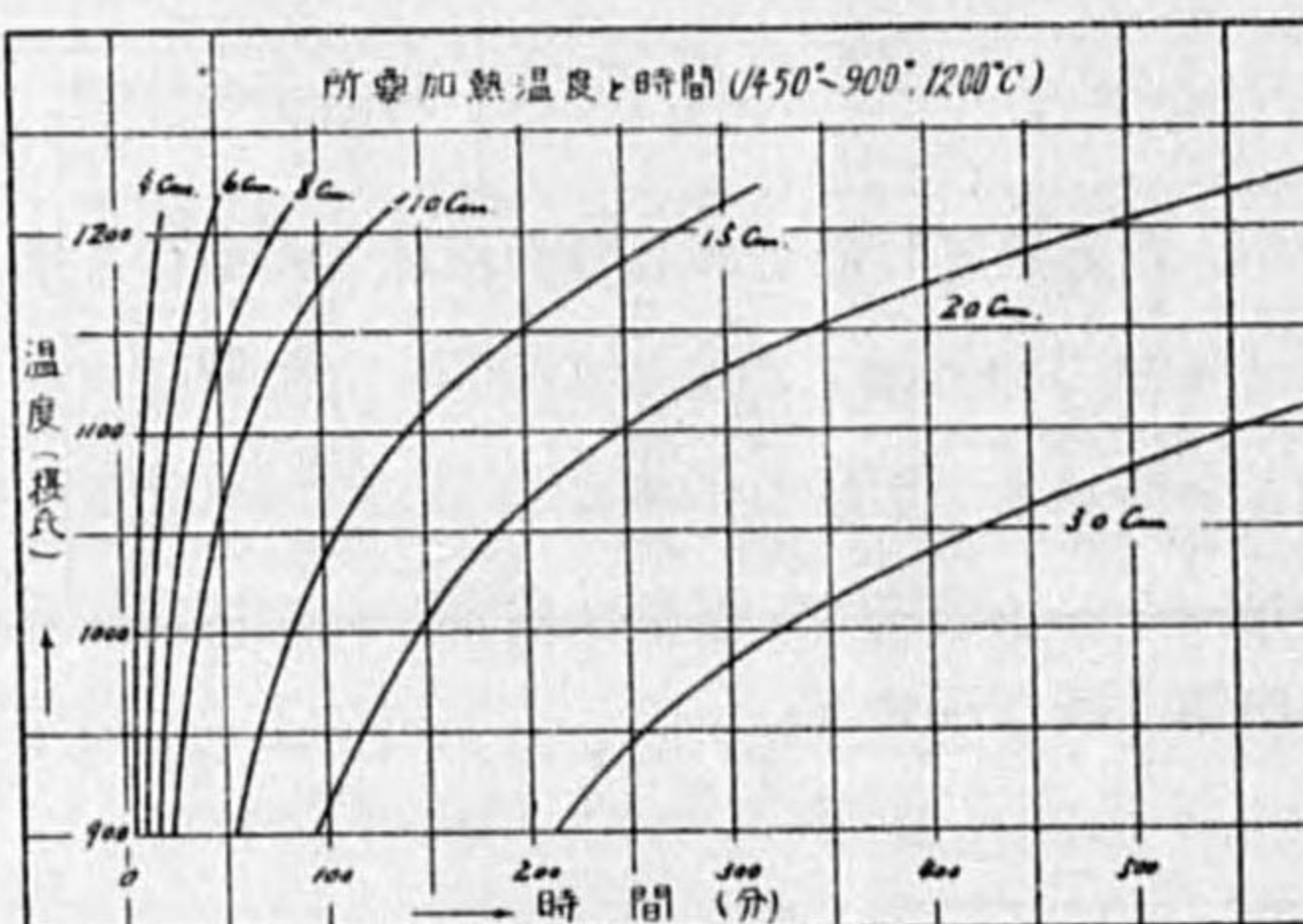
是等の関係を第4圖に示せり。

第4圖



此場合に於ても 10 條の銅片につきて考ふるに、 $1000^{\circ}\text{C}$  に到達してより尚ほ  $100^{\circ}$  上昇せしむるには更に 25 分間を要するに、是より尚  $100^{\circ}$  上昇せしめて  $1200^{\circ}\text{C}$  に到らんが爲めには 61 分を要する事となる。即ち長時間の加熱は所要温度以上に只僅少の温度上昇を來すのみなるを意味するなり。此關係を明瞭ならしめるが爲めに、一面が常に  $1450^{\circ}\text{C}$  の高温に晒され是より  $\times$ なる距離の平行なる一面が到達する所要温度と、夫れに要する加熱時間との關係を第 5 圖に示せり。此場合に於ても前節の場合と全く同様に述ぶる事を得。只時間に對する所要温度上昇の割合は、熱源の温度高きが故に  $1350^{\circ}\text{C}$  の場合よりも大なり。

第 5 圖



## 第 5 節 銅片の厚さに據る吸收熱量の差異

銅片の厚さに據る吸收熱量の差異は既に加熱時間の差よりして知らる可きも、加熱時間の長短は其吸收熱量に於て如何なる差異ある事に相當するかを考ふるに、材質形狀一様なるが故に其熱的恒数は皆同一なりと考ふる事を得。去り乍ら銅片の厚さの増加に對する温度の上昇は、時間に對して同一割合を以て進行せざるは既に第 2 及び 4 圖に依りて明かなり。今時間を一定に採り平均として各銅片が吸收する熱量の大きさの割合を求むるに、先づ銅片の一面が  $1450^{\circ}\text{C}$  に保たれ他の面が  $1000^{\circ}\text{C}$  に到達する際の、銅片の厚さと時間との

關係第 4 圖よりして、各銅片が平均として含有せる熱量即ち吸收熱量の大きさと各銅片の厚さとの關係を次の如くにして求めんに、

$$\text{銅片の厚さ} = 30 \text{ 條}$$

$$\text{銅片の平均温度} = (1450^{\circ} + 1000^{\circ}) \div 2 = 1225^{\circ}\text{C}$$

$$\text{銅片の初めの温度} = 20^{\circ}\text{C}$$

$$\text{銅片の加熱時間} = 326.5 \text{ 分}$$

なるを以て、厚さ 30 條の銅片が全体  $1225^{\circ}\text{C}$  に上昇せしめるが爲めに約 326 分余を要する事となる。従つて

$$215^{\text{(Cal.)}} \div (326.5 \times 60) = 0.011 \text{ Cal.}$$

即ち、銅片の厚さ 30 條にして如上の状況の下に於ては、單位容積につき 1 秒間に約 0.011 カロリーを吸收する事となる。據て斯くめ如く計算すれば次の結果を得。

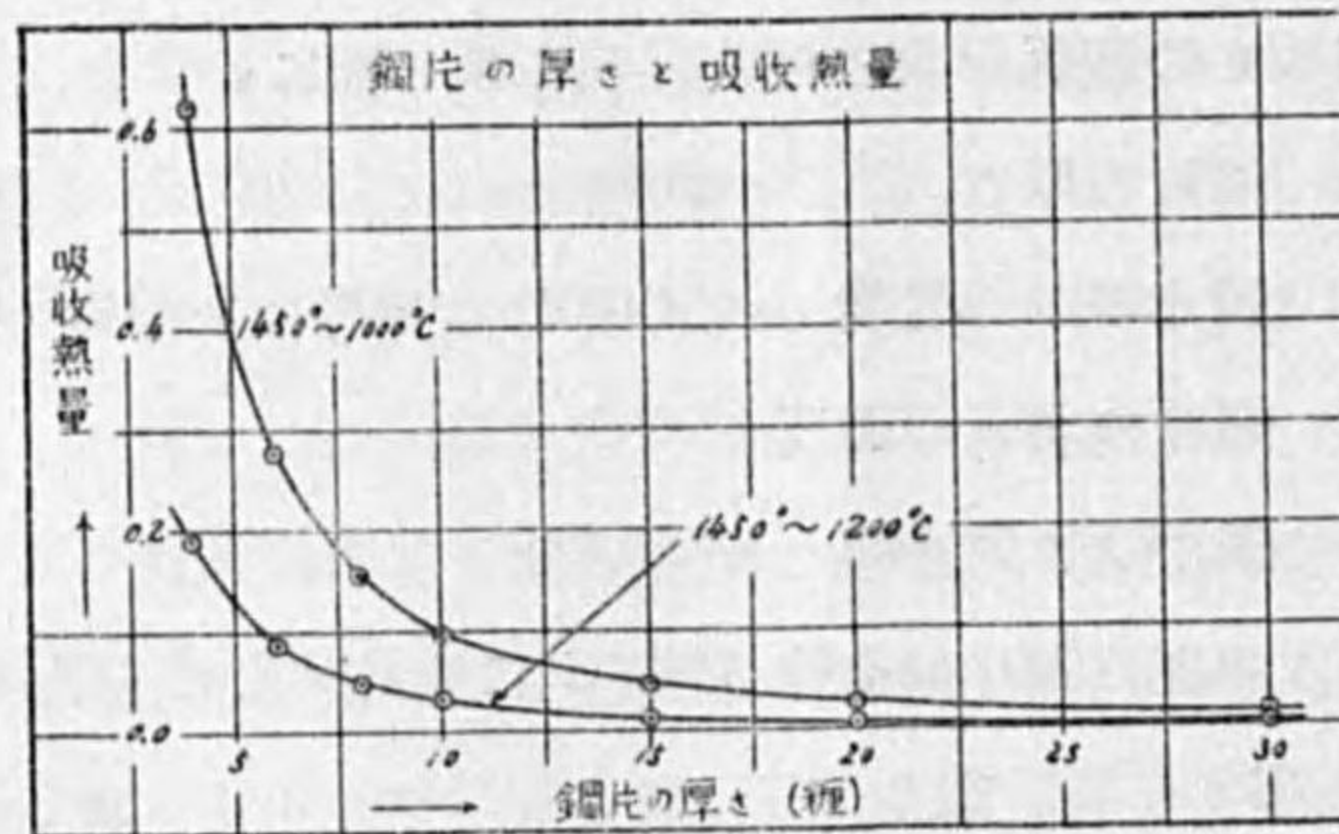
## 吸 收 热 量 比 較

銅片の厚さ (條)	1450 ~ 1000°C	1450 ~ 1200°C
4	0.618	0.190
6	0.274	0.085
8	0.154	0.048
10	0.099	0.031
15	0.044	0.014
20	0.025	0.008
30	0.011	0.003

此關係を示せるものは第 6 圖なりとす。

(1) 海野 製鐵所研究所研究報告 5 (1925), No. 2; 金屬の研究 3 (1926), 225;  
理科報告 15 (1926), 331.

第 6 圖



此曲線よりしても加熱するに當りては、鋼片の厚さ増加すれば單位時間に其吸收熱量が如何に減少する事に相當するかを知るに足る可く、又温度を更に上昇せしむるには、其吸收熱量が甚だしく減少する結果に等し。従つて所要温度以上に上昇せしむる事は、其熱經濟上甚だしく不利なる事を知る可し。

#### 第6節 厚さの増減と石炭消費量との關係

前節に於て、鋼片の厚さの増加に對する所要温度の加熱時間の關係を述べたが、此時間の差異は消費石炭量の何程に相當するか、換言すれば鋼片の厚さの増減によりて石炭消費量が如何なる變化をなすかを見んとす。今加熱爐の一例として線材工場加熱爐の場合を探り其狀況を採用せんに、

$$\text{每時石炭消費量} \dots \frac{34.850}{24} = 1.452 \text{ 吨}$$

$$\text{每時の加熱鋼材} \dots \frac{274.05}{24} = 11.42 \text{ 吨}$$

$$\text{各鋼材が爐内に保たる平均時間} \dots = 56\text{分}30\text{秒}$$

$$\text{抽出加熱鋼材の平均表面温度} \dots = 1226^{\circ}\text{C}$$

$$\text{加熱鋼片の大きさ} \dots = 9.6 \times 9.6 \times 102(\text{厘})$$

$$\text{爐の長さ} \dots = 13.728 \text{ 米}$$

なり。而して第3節に於て一面が  $1350^{\circ}\text{C}$  に保たれ他面が  $1000^{\circ}\text{C}$  に到達す

#### 銅片の加熱速度に就きて

る場合を考ふるに、銅片の厚さ 9.6 厘なるを以て約48分を要す。(此場合爐全体として既に高温にあるが故に、此48分よりは可なり短時間にして所要温度に到達す。何となれば兩面より加熱するにせば約22分にして充分なるが故に48分よりは短時間なる可きは想像するに難からず) 然るに實際作業に於ては爐内温度の分布均一ならざる爲めならんか(實際は  $1350^{\circ}\text{C}$  よりも高温の部分もあれ共、全体平均として  $1240^{\circ}\text{C}$  を採りて計算せるが故に實際は尙ほ短時間にて足る可きなり) 爐内保持の時間は56分30秒なり。然らば其厚さ増加すれば實際作業上何分づゝ保持せざる可からざるかを考ふるに、

$$x = \frac{56.5A}{48} = 1.18A$$

今第2圖よりして時間 A を代入し、之に相當する銅片の厚さと所要時間又從つて所要石炭量、爐内に配列し得可き本數、其全屯數並に屯當り石炭消費量の關係を算出すれば第2表の如し。

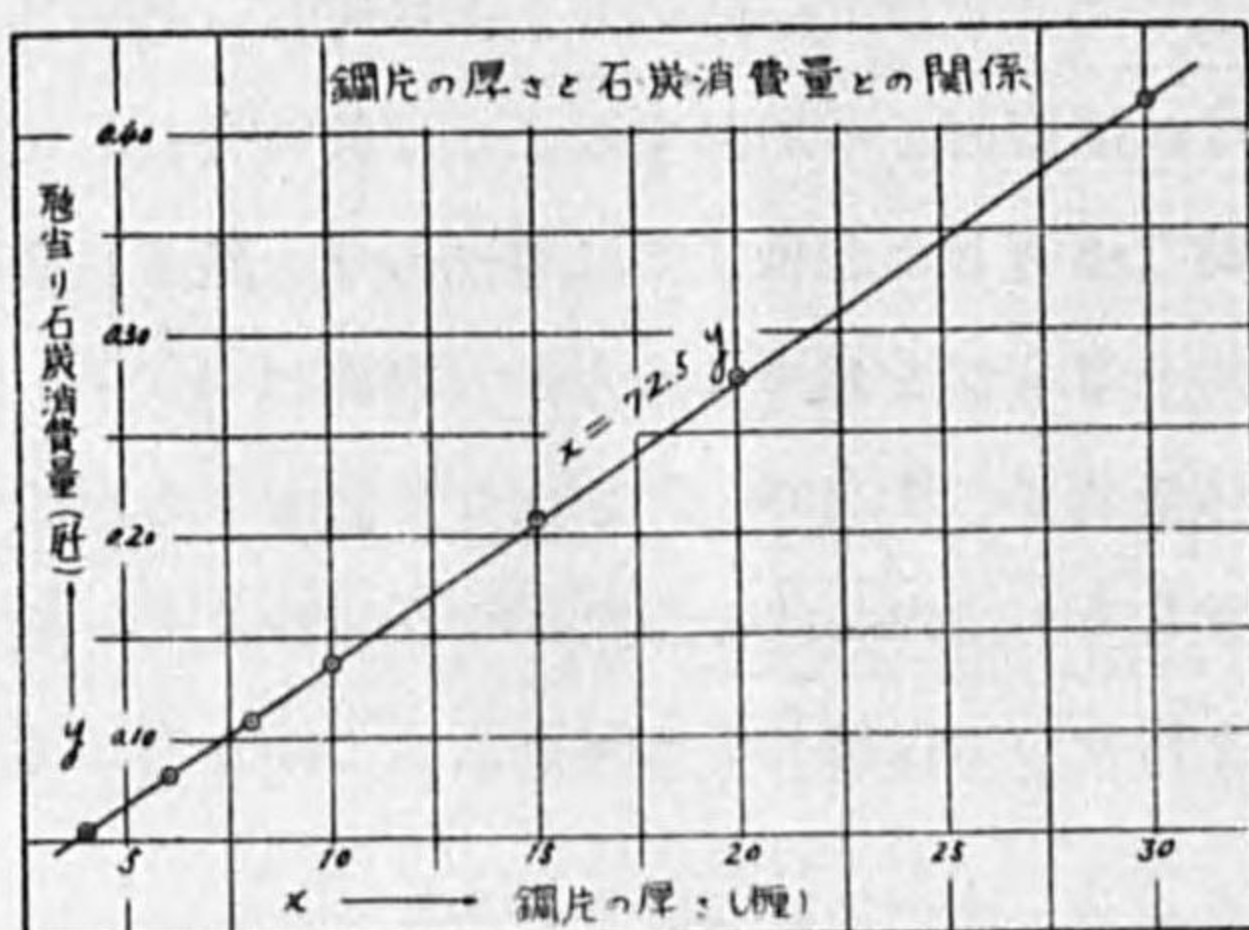
第 2 表

銅片の厚さ (厘)	加熱所要時間 (分)	消費石炭量 (吨)	配列銅片數	配列銅片の屯數	屯當り石炭消費量 (吨)
4	10	0.242	343	4.39	0.055
6	22.4	0.542	229	6.60	0.082
8	40.	0.968	173	8.87	0.109
10	62.5	1.513	137	10.96	0.138
15	140.5	3.400	91.5	16.44	0.207
20	249.8	6.040	68.6	21.92	0.276
30	561	13.580	15.7	32.88	0.413

表中消費石炭量は加熱所要時間より求め、又鋼材屯當り石炭消費量は配列銅片の屯數と石炭消費量より求めたるものなり。銅片の厚さと石炭消費量との關係を第7圖に示せり。

(1) 海野 鋼と鐵 14 (1928), 756.

第7圖



鋼片の厚さ增加すれば加熱時間に於て著しく増加するのみならず、又屯當り石炭消費量に於ても直線的に増加す可きを知るに足らん。

屯當り石炭消費量を  $y$ 、鋼片の厚さを  $x$  とすれば屯當り石炭消費量と鋼片の厚さとの関係は次式を以て表はさる。

$$x = 7.25y$$

#### 第7節 時間より見たる加熱鋼片の廻数

前節に於て鋼片の厚さの増加と所要温度に加熱するに要する時間、並に燃料に及ぼす鋼片の厚さの関係を述べたるが、更に時間より見たる場合、換言すれば、各鋼片が所要温度に加熱せられ同一時間内に爐外に抽出せられ得る廻数を算出するに、周囲の状況は、

爐の全長 ..... = 13.728 米

毎時石炭消費量 ..... = 1.452 廻

なるが故に、鋼材の一面が常に  $1350^{\circ}\text{C}$  に保たれ、他の一面が  $1000^{\circ}\text{C}$  に到達する場合に於ける鋼片の厚さ、所要時間、鋼材の單重及び毎時加熱鋼片の抽出せられ得る廻数との関係は第3表の如し。

第3表

鋼片の厚さ (mm)	時間 (分) $1350^{\circ}\text{C} \sim 1000^{\circ}\text{C}$	單重 (kg)	毎時抽出せられ得る量 (kg)	毎時の全本数
4	9	0.013	29.70	2286
6	19	0.029	20.98	723
8	34	0.052	15.89	305
10	53	0.081	12.55	155
15	119	0.183	8.45	46
20	212	0.325	6.32	19.4
30	477	0.730	4.25	5.8

以上は理論上よりの計算なるが、次に實際作業に於て鋼片の厚さ 9.5 梓の鋼材が表面平均  $1226^{\circ}\text{C}$  内外に加熱せらるゝ場合、爐中保持の時間は各々 56.5 分なるを以て此割合にて作業を遂行するものとせば、鋼片の厚さと毎時の加熱鋼片廻数とは第4表の如くなる。

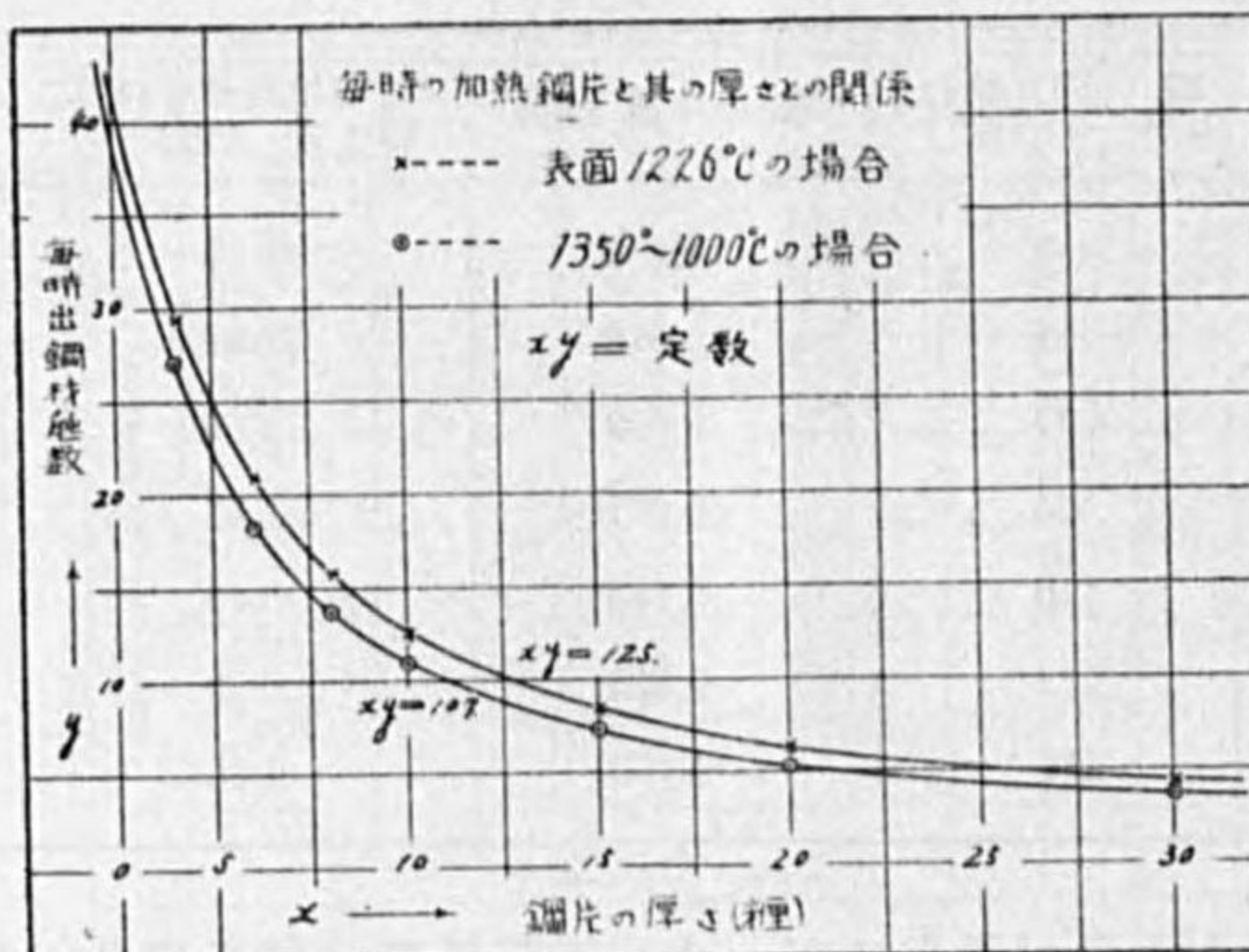
第4表

鋼片の厚さ (mm)	時間 (分) 表面 $1200^{\circ}\text{C}$	單重量 (kg)	毎時出鋼量 (kg)	毎時出鋼本数
4	10.0	0.013	26.7	2100
6	22.4	0.029	17.8	614
8	40.0	0.052	13.5	259
10	62.5	0.081	10.64	132
15	140.5	0.183	7.15	39
20	249.8	0.325	5.37	16.5
30	561.0	0.730	3.56	4.9

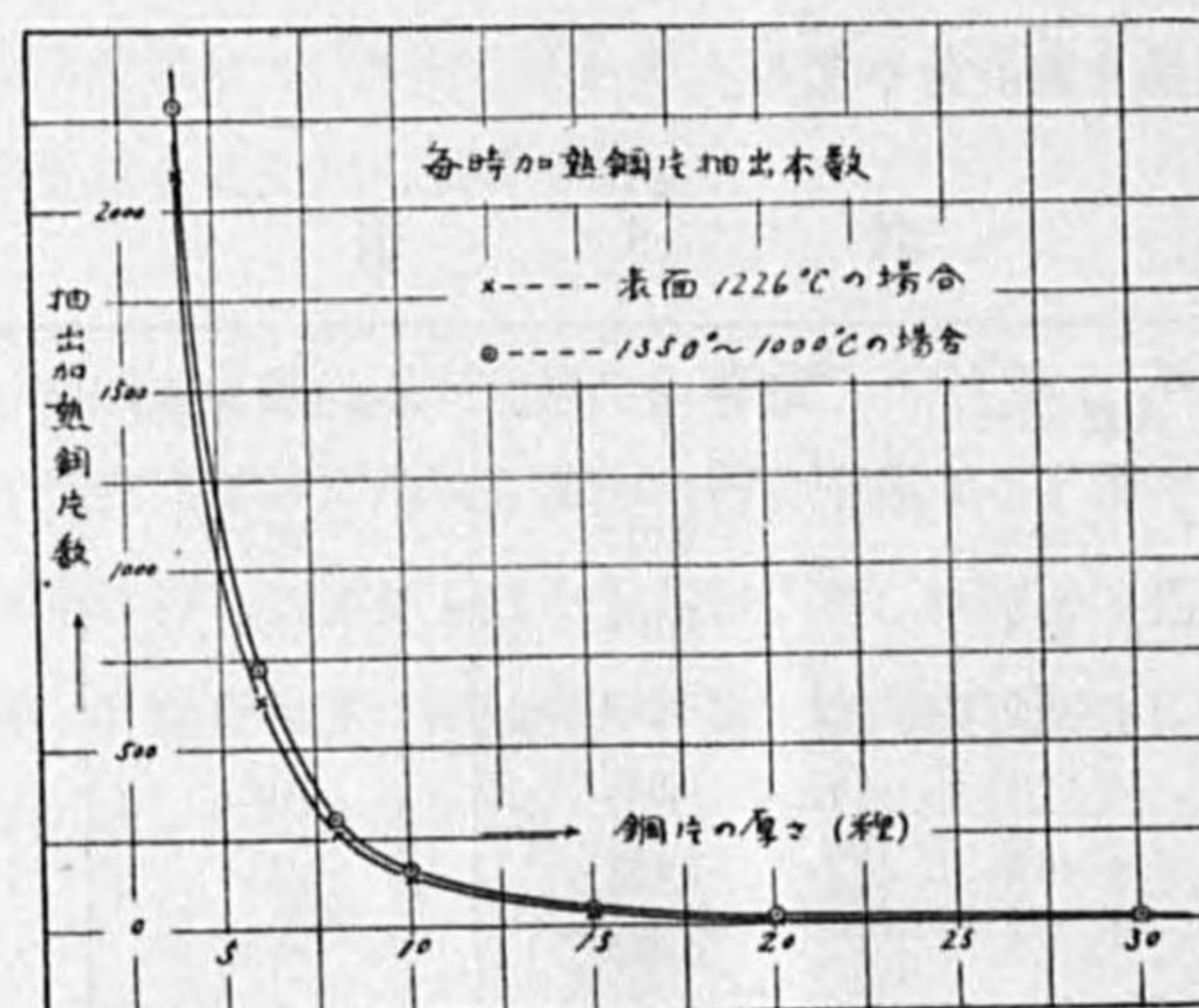
毎時の加熱鋼片廻数と鋼片の厚さとの関係を第8圖に、又毎時抽出せられ得る加熱鋼片の出數と鋼片の厚さとの関係を第9圖に示せり。

(1) 海野前掲

第 8 圖



第 9 圖



是によりて考ふるに、抽出せられ得る鋼材の枚数より考ふるも銅片の厚さ增加すれば二乗の割合を以て減少するものたる事を知る。

今毎時の加熱銅片枚数を  $y$  銅片の厚さを  $x$  とすれば、第 8 圖に示せる曲線は次の式を以て表はさる。

表面 1226°C に到達する場合

$xy = 125$

1350~1000°C の場合

$xy = 107$

即ち何れの場合にありても

$xy = \text{定数}$

なるを以て、抽出枚数を増加せしめんとせば、反対に銅片の厚さを減少せしめざる可からざるを以て互に反対の関係にあり。毎時の加熱抽出銅片数も亦同様なるを知る。

## 第 2 章 厚さの増減と加熱時間との実験的例證

### 第 1 節 実験方法

銅片の加熱及び冷却に關しては既に研究せるものあれども、銅片の大きさを變へて熱源に裝入せられたる時、其銅片の内外に於ける溫度上昇模様は時間と共に如何に變化するかに就きては、甚だ少なきの觀あり。第 1 章に於ては、銅片の一面より熱流が直進する場合に於ける銅片の厚さと所要溫度に到達する時間との關係を求めたるが、熱流として四方より加熱する場合に於ては、如何なる關係にあるかを知らんが爲めに次の實驗を行へり。

熱源として使用せる電氣爐の内部は、 $19 \times 18 \times 38$  棘、外部は、 $60 \times 42 \times 60$  棘にしてニクロム線を使用せる抵抗電氣爐なり、電氣爐及び測定に使用せる試料は第 10 圖に示せり。實驗中の平均電壓は 195 ボルト、平均電流は 13.5 アンペア、電氣爐の抵抗は平均 14.4 オームなりき。

試料銅片は、中心迄直徑約 3~6 棘の穴を作り、補正を行へる白金及び白金ロジウムの熱電對を挿入し、又試料の上部表面にも同種の熱電對を接觸せしめ、 $900^{\circ}\text{C}$  の一定に保たれたる爐内に試料と共に裝入し、此兩熱電對が $900^{\circ}\text{C}$  に到達する迄の時間と溫度との關係を求めたるものなり。實驗に供せ

(1) Sejo Saito, Journ. Soc. Mech. Eng. 21 (1927), 15.

海野 製鐵所研究所研究報告 7 (1927), No. 9.

海野 製鐵所研究所受付研究 80 (1926)

られたる試料の大きさ及び分析次表の如し。

## 正立方体

No.	2	3	4	5	7	8
一辺の長さ(厘)	12.4	10.	7.5	5.	3.	2.
C (%)	0.16	0.18	0.16	0.16	0.21	0.20
Si (%)	0.019	0.019	0.021	0.012	0.012	0.012
Mn (%)	0.39	0.37	0.41	0.39	0.40	0.39
P (%)	0.024	0.026	0.027	0.022	0.028	0.023
S (%)	0.028	0.031	0.036	0.025	0.042	0.037
Cu (%)	0.22	0.23	0.22	0.22	0.23	0.22

## 正長方体

No.	1	2	3	5
各邊の長さ(厘)	1.5×1.5×12	2×2×11	2.5×2.5×13.8	3.7×3.7×30
C (%)	0.07	0.05	0.07	0.08
Si (%)	0.013	0.017	0.013	0.014
Mn (%)	0.38	0.37	0.40	0.41
P (%)	0.022	0.023	0.027	0.027
S (%)	0.042	0.039	0.053	0.060
Cu (%)	0.16	0.15	0.17	0.17

又冷却に際しては、爐内にて鋼片の内外共に900°Cに到達せる後爐外耐火煉瓦上に引き出だし、兩熱電對の示す溫度を時間と共に讀めるものなり。

## 第2節 測定の結果

斯くて得たる時間と溫度との關係を第11～13圖に示せり。

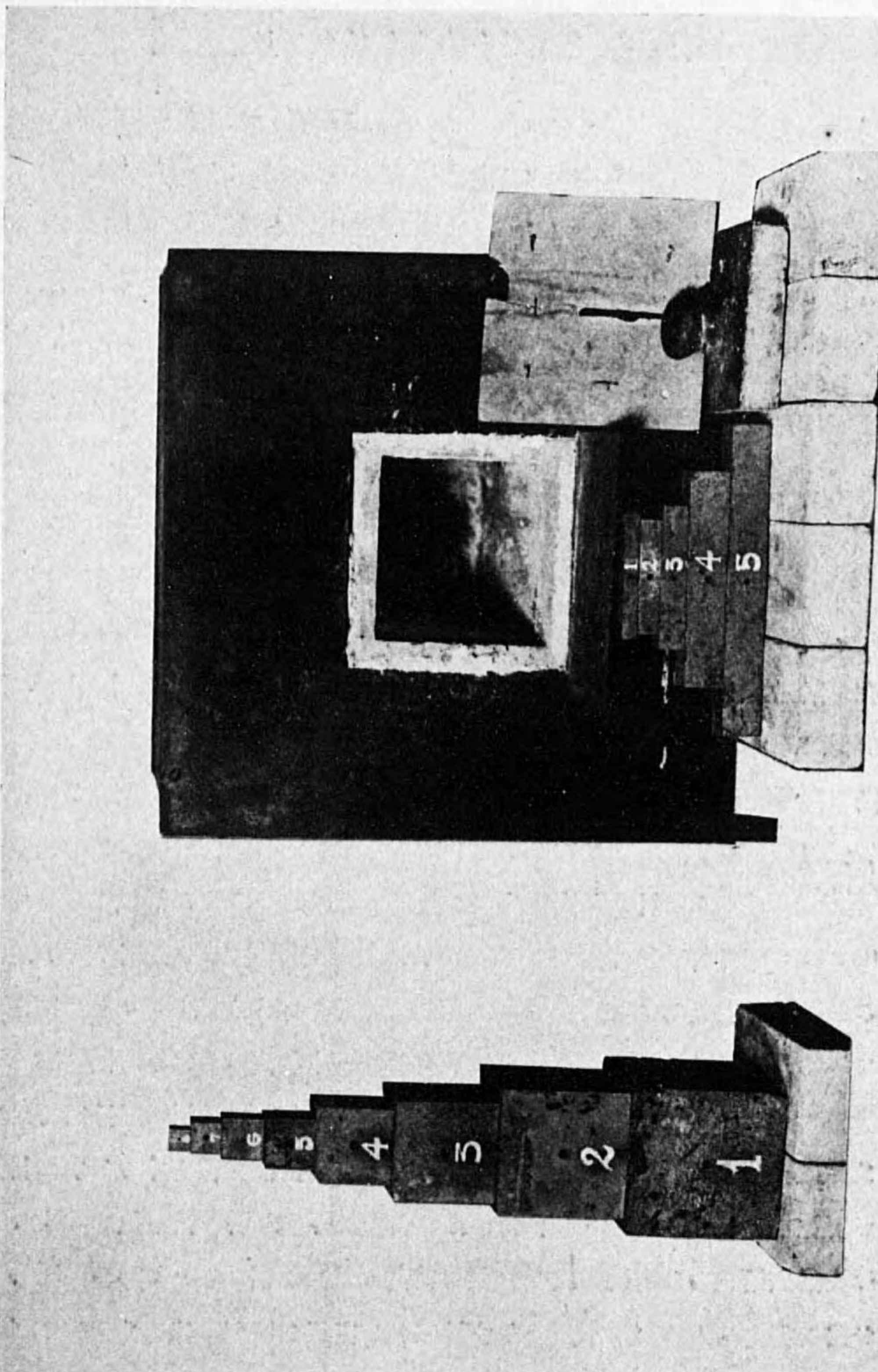
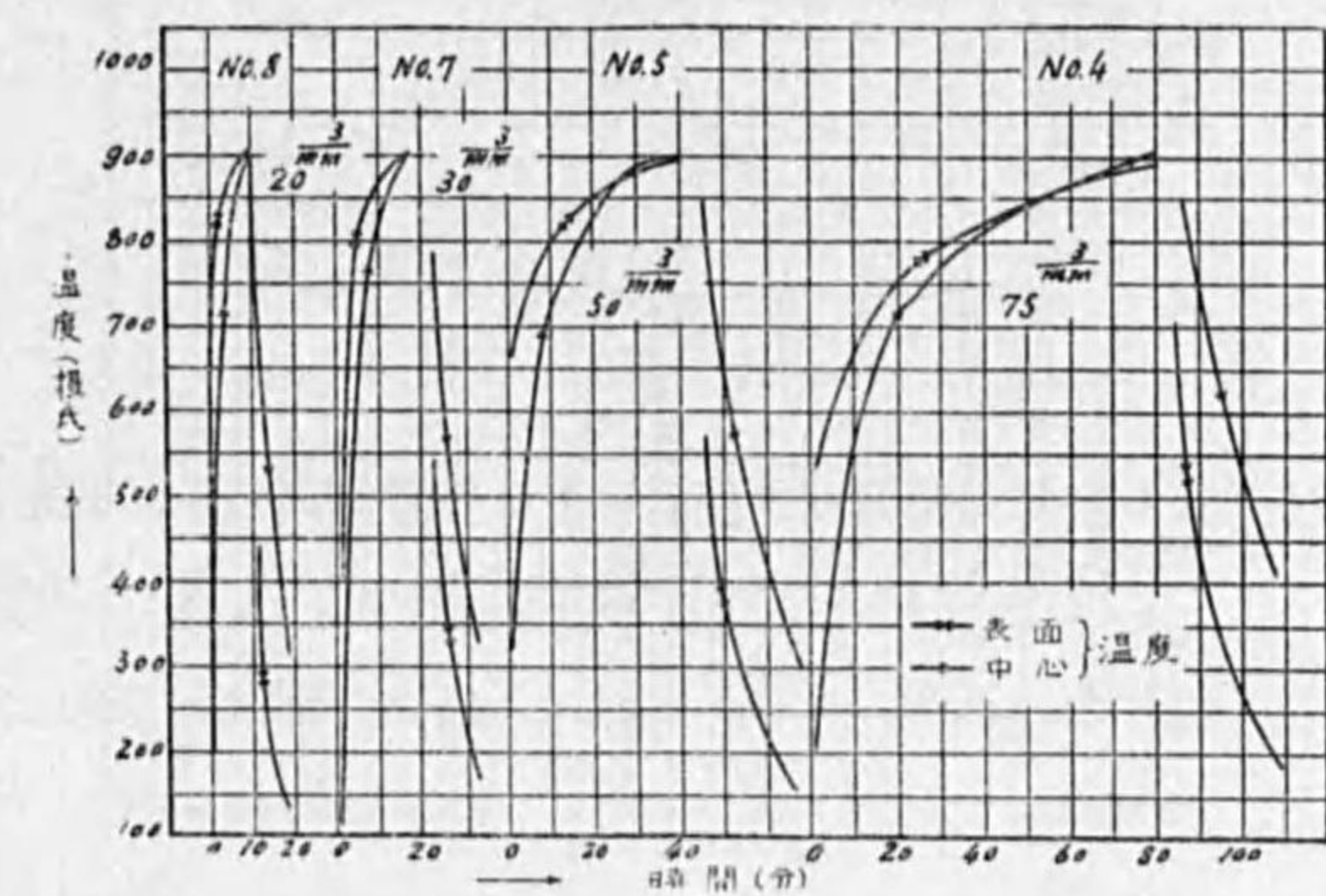


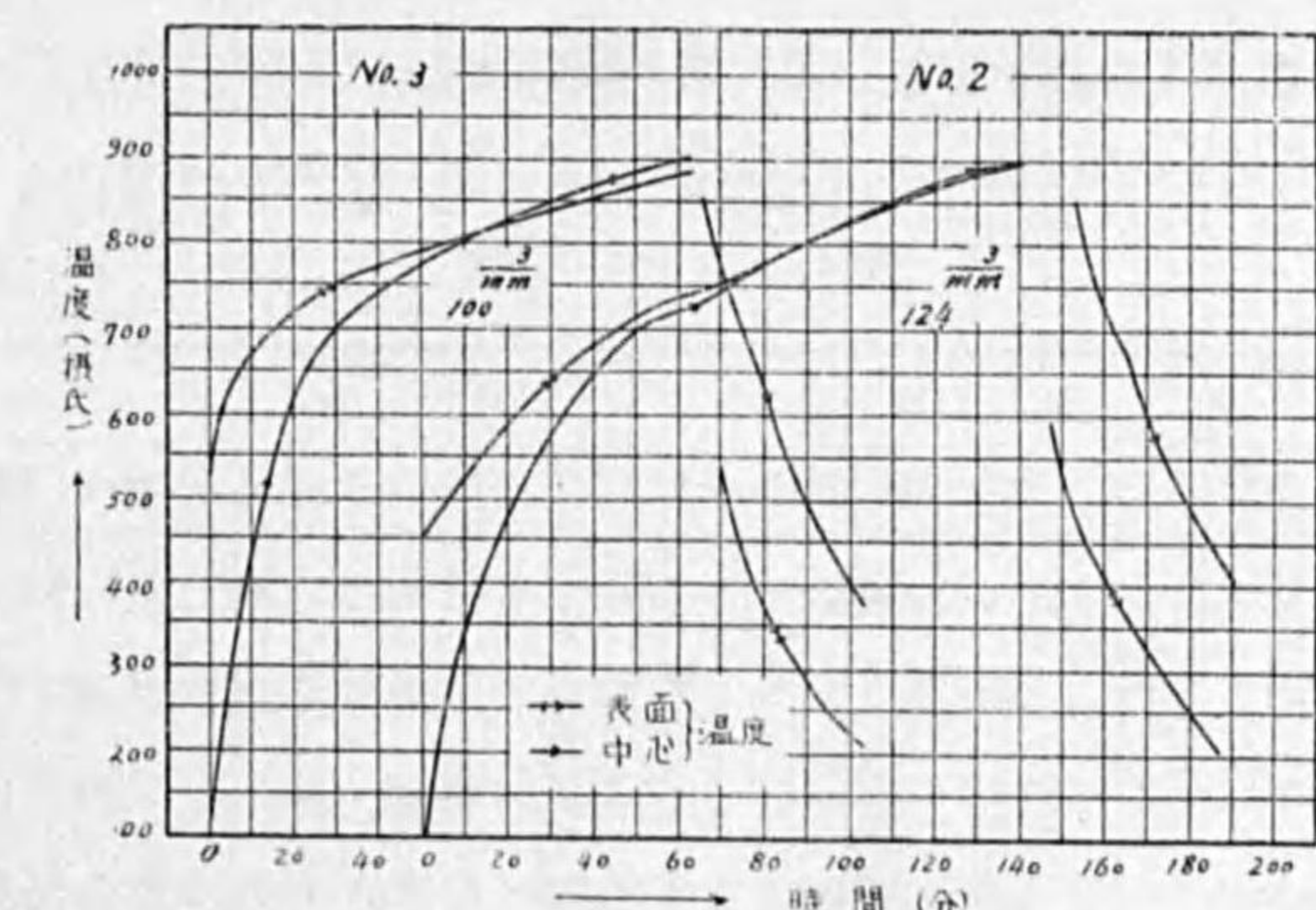
圖  
第  
10

銅片の加熱速度に就きて

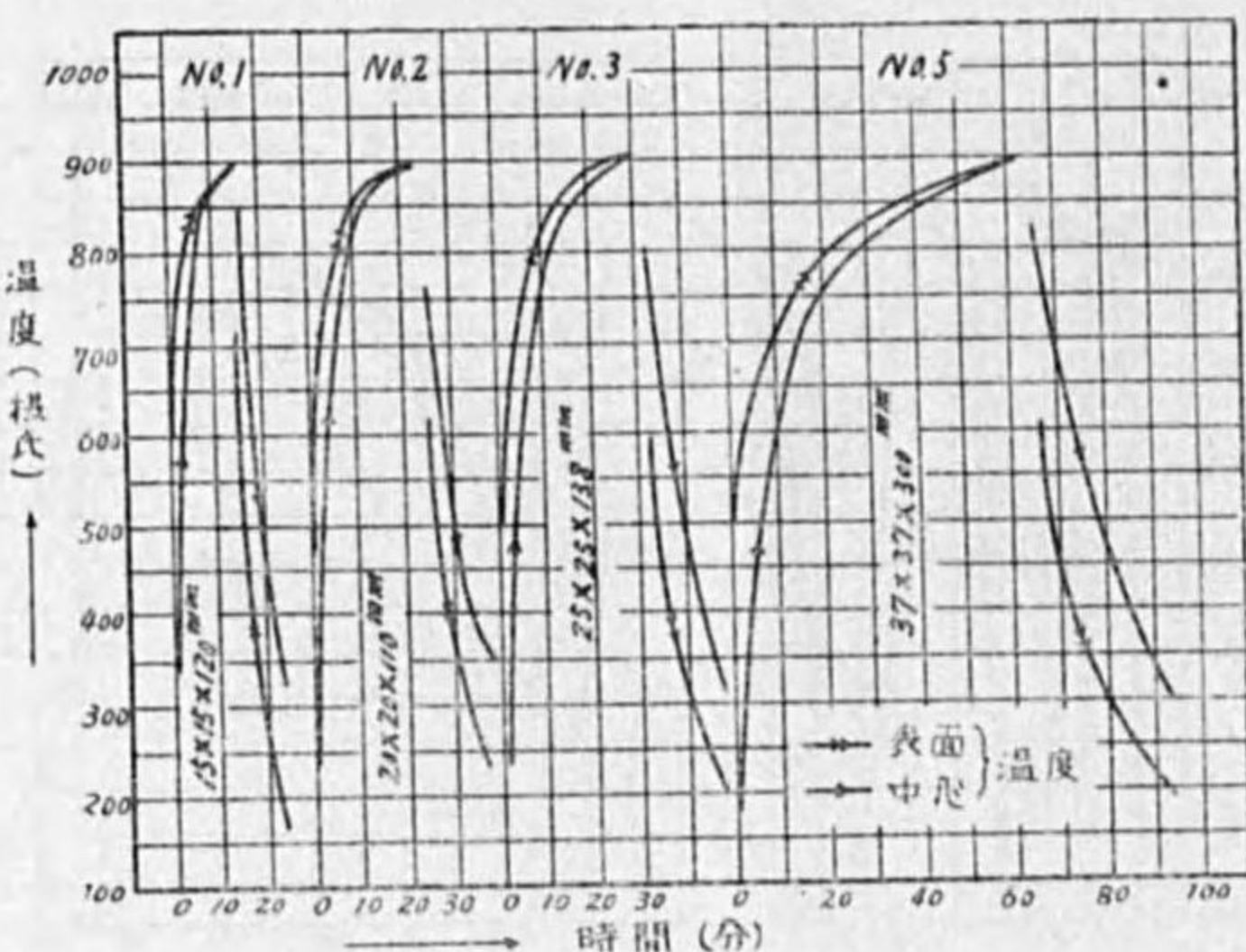
第 11 圖



第 12 圖



第13圖



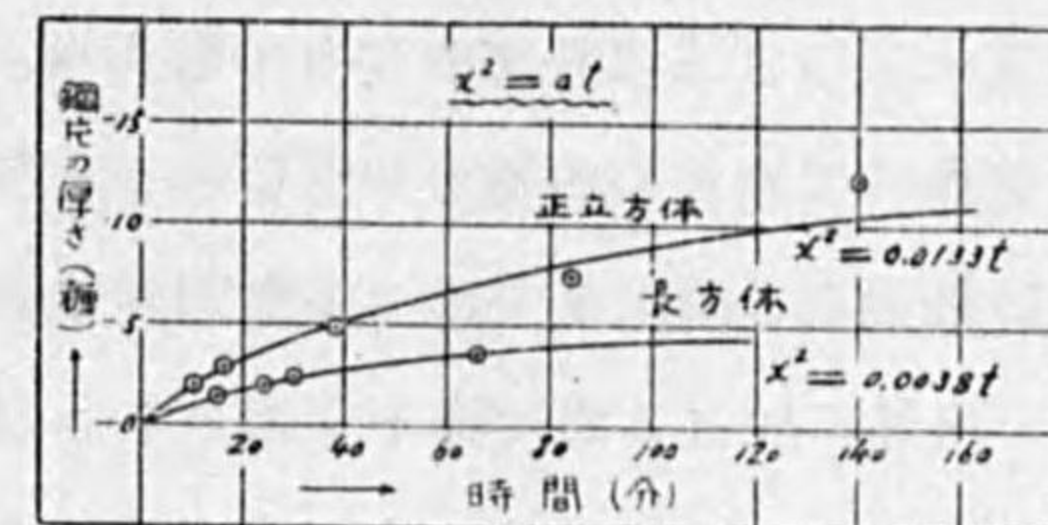
此結果を通覧するに鋼片の内外が900°Cに到達する時間は、其鋼片の大きさの増加に従て長じ。今正立方体にありては一邊の長さ、又正長方体にありては、短邊の長さを探り、此一邊の長さの増加と各鋼片の内外が同一温度900°Cに到達する時間を求むるに第5表の如し。

第5表

正立方体		正長方体	
No.	時間(分)	No.	時間(分)
2	140	1	15
3	120	2	24
4	84	3	30
5	38	5	65
7	16		
8	10		

此關係を示せるものは第14圖なりとす。

第14圖



加熱温度其他の周囲の状況相違すと雖も、前章に於ける場合を茲に導き來りて列記するに、

- 1350°~1000°C (板状) .....  $x^2 = 0.0315 t$
- 1350°~1100°C (全上) .....  $x^2 = 0.0158 t$
- 1350°~1200°C (全上) .....  $x^2 = 0.0057 t$
- 1450°~1000°C (全上) .....  $x^2 = 0.0459 t$
- 1450°~1100°C (全上) .....  $x^2 = 0.0270 t$
- 1450°~1200°C (全上) .....  $x^2 = 0.0136 t$
- 900°~900°C (正立方体) .....  $x^2 = 0.0133 t$
- 900°~900°C (正長方体) .....  $x^2 = 0.0038 t$

となり何れも

$$x^2 = a t$$

なる關係にある事を知る。茲に  $x$  は鋼片の厚さにして  $t$  は時間を表はし、 $a$  は周囲の状況及び鋼片の種類形狀等によりて定まる定数なり。従つて此結果よりしても鋼片の大きさ相似的に増加すれば、其加熱に要する時間は二乗の割合を以て増加する事を實驗的にも確かむる事を得たり。第14圖に示せる實驗の結果が前章の板状の場合と異なるは、鋼片の形、熱流の方向其他周囲の状況相違するが故に當然の結果なる可し。

### 第3節 鋼片の大きさと其内外の冷却速度

物体の冷却に關しては今日迄既に數多の報告あり、其實驗狀況、種類等千

差萬別なるも、加熱鋼片が爐外に抽出せられたる時其表面及び内部中心が如何なる温度降下をなすかにつきては甚だ少なきの觀あり。

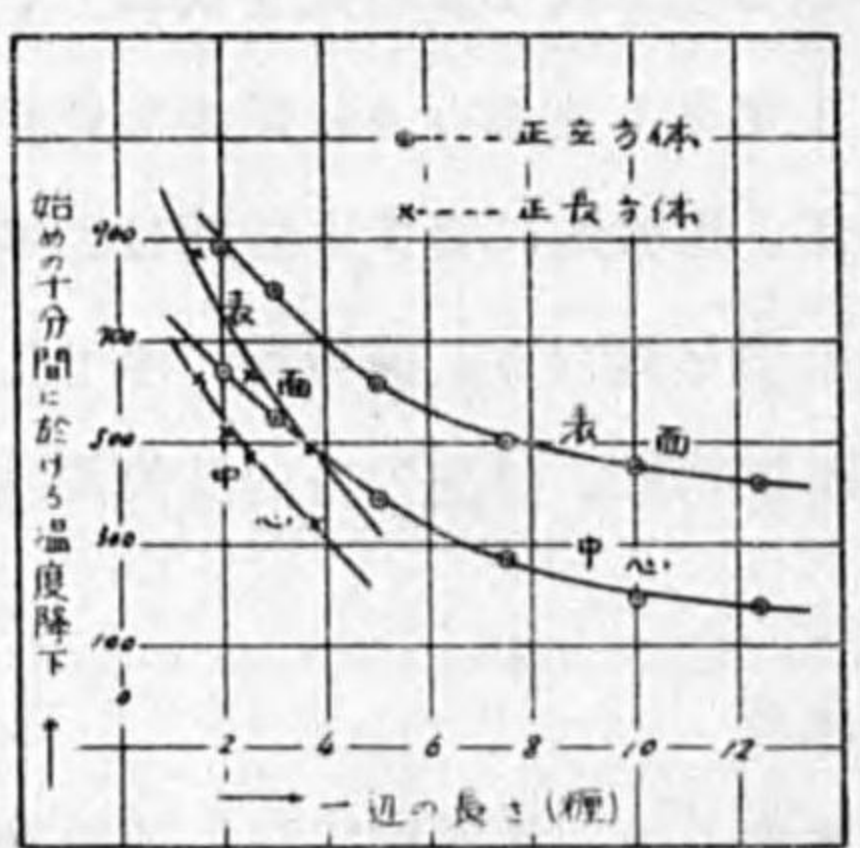
本實驗に於ては、爐内にて鋼片の内外が 900°C の一定温度に達せる後直ちに爐外の耐火煉瓦上に抽出し、挿入せられたる熱電對と表面に接觸せる熱電對によりて、鋼片の内外に於ける温度降下を讀めるものなり。第11~13圖に示す如く、鋼片の小なるものは加熱及び冷却速度共に大にして、鋼片の大なるものは兩速度共に小なり。今加熱鋼片抽出直後10分間内に於ける表面及び其内部中心の温度降下を讀むに、第6表を得。

第 6 表

正立方体		正長方体		
一邊の長さ(厘米)	中心降下溫度(°C)	表面降下溫度(°C)	大きさ(厘米)	中心降下溫度(°C)
2.0	640	880	1.5×1.5×12	630
3.0	550	800	2×2×11	520
5.0	385	620	2.5×2.5×13.8	470
7.5	270	500	3.7×3.7×30	340
10.0	190	450		490
12.4	175	420		

此關係を示せるものは、第15圖なります。

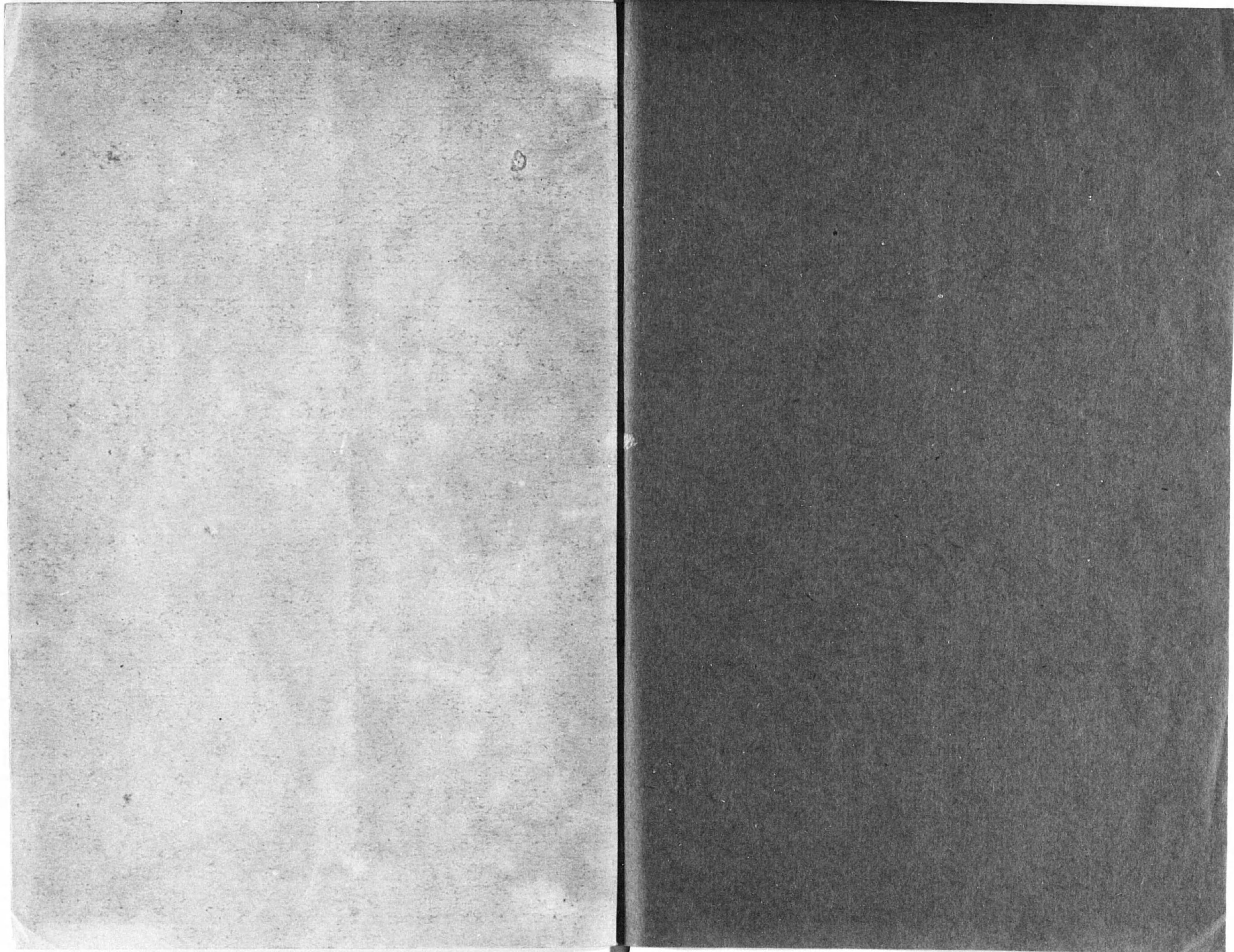
第 15 圖



此結果よりして知らるゝ如く、鋼片小ならば内外共に冷却速かるも、鋼片の大きさ増加すれば内外共に其温度降下少く且つ外面に比して内部の冷却は甚だ緩かなり。從つて鋼片の内外の温度の差は時間と共に益々増加するを知る。去り乍ら最後に到達す可き溫度は内外共に常温なる可きを以て、此内外の間隔ある溫度

も長時間後は兩者同一になる可きは勿論なり。冷却始めに於て内外の温度の差は益々増加するが故に、大なる鋼片にありては其表面溫度降下すと雖も内部は尚ほ相當の高溫度にある事を想像せらる可し。又正立方体と正長方体とを比較するに、前者は其加熱速度大なる結果を示せり。是其體積相異なるが故に當然の結果なる可し。

終りに臨み、御指導を辱ふしたる技監工學博士野田研究所長並に動力部長岸原主事に對し厚く感謝の意を表す。又熱心に實驗に從事せる岡田、中畠兩副手、瀬戸、森口、三寛田諸氏に對し其勞を謝すものなり。



14.5-131



\*1200600208641\*

14.5

131

終